59Ni の放射能が廃止措置計画に及ぼす影響 (3)

Influence of ⁵⁹Ni radioactivity on decommissioning (3)
*江連 秀夫 株式会社 ナイス

2019 年春と秋の大会では、主に BWR のシュラウドと RPV の 59Ni の内部制動放射による線量率等について発表した。今回の発表では、PWR のバッフル及びバレルの線量率を評価し、この結果が廃止措置計画に及ぼす影響、中性子スペクトル、不純物の含有率に関わる課等について発表する。

キーワード: 59Ni、PWR、バッフル、バレル、放射能、線量、廃止措置、内部制動放射

1. まえがき 「2019 年秋の大会」では、BWR の RPV(クラッド+母材)の 58 Ni が放射化し、 59 Ni が生成され、その内部制動放射(IB)による線量率等について発表した。今回は、PWR のバッフル及びバレルの線量率を計算し、この結果が廃止措置計画に及ぼす影響、中性子スペクトル、中性子束及び不純物の含有率に関わる課題等について考察する。 59 Ni の IB による線量の評価方法は前回 10 と同じである。

2. 解析 JPDR の RPV での放射能濃度の測定、解析 ²⁾を行なっているので、これを参考にして、PWR の運転履歴、核断面積等を用いて年間 80%の稼働率で 60 年間運転したとし、前回と同様な方法で、次式でバレル及びバッフル(SUS)の放射能濃度を求め、線量換算係数から線量率を求めた。それぞれの線量率の計算値を図 1 及び図 2 に示す。ただし、中性子東分布は Trojan(P1095MWe,PWR)、バッフル及びバレルの中性子東比は JPDR の炉心境界及びシュラウドでの値を採用した。

$$(\lambda n)_{\ell} = (\lambda n)_{k} \frac{\sum_{\alpha} \sum_{i=0}^{p} \sigma_{\alpha \rightarrow \ell} \varphi_{i} N_{\alpha} (1 - exp(-(\lambda_{\ell} + \sigma_{\ell} \varphi_{i}) T_{i})) exp(-\lambda_{\ell} t_{i})}{\sum_{\beta} \sum_{j=0}^{q} \sigma_{\beta \rightarrow k} \varphi_{j} N_{\beta} (1 - exp(-(\lambda_{k} + \sigma_{k} \varphi_{j}) T_{j})) exp(-\lambda_{k} t_{j})}$$

記号: 汎用例と同じ。 孫核種、異性体転移: 省略、ただし 166m Ho は、半減期が 1200 年、直接 $^{\beta}$ 崩壊して安定核種になるので考慮。 σ_k , σ_ℓ : (n,γ) 、(n,p)等の反応断面積の和。サフィックス k と $^{\ell}$ 及び i と j はそれぞれ放射能を測定、評価する核種とその照射時の運転履歴を表す。中性子束は運転履歴毎の平均炉出力に比例し、放射化断面積は運転条件に対して一定と仮定した。

図1及び図2から運転停止直後は 60 Co、 134 Cs 及び 54 Mn が線量率の主要核種であるが、50年を過ぎると、 59 Ni(IB)、 94 Nb 及び 166m Hoによる線量率が支配的で、全線量率はほぼ一定となり、バレルで約9.7E+ 05μ Sv/h、バッフルで約1.4E+ 05μ Sv/h である。 59 Ni(IB)及び 94 Nb による線量率は、バレルとバッフルとで反転し、いずれも 166m Hoより大きい。この反転の理由は、実効断面積が表1に示すように原子炉運転中の中性子スペクトルに左右されるからである。また、バレルの 59 Ni(IB)が大きく、約 90 mSv/h である。従って、安全貯蔵-解体撤去時の被ばく及び解体廃棄物の長期保管時の支配核種は、 59 Ni(IB)である。なお、 166m HoのSUS及び鋼材の含有率は 19 pm以下で、その変動巾も大きい。

3. 結論 運転停止後 50 年を過ぎると、バッフル及びバレルの ⁵⁹Ni(IB)、 ⁹⁴Nb 及び ^{166m}Ho による線量率が支配的になり、 ^{166m}Ho は 一番小さい。バッフルでは ⁵⁹Ni(IB)による線量率が約 97mSv/h で ある。従って、安全貯蔵後の解体撤去開始時期、その被ばく及び解 体廃棄物の長期保管時の決定要因核種は ⁵⁹Ni(IB)である。

参考文献 1)"⁵⁹Ni の放射能が廃止措置計画に及ぼす影響 (2)"、2019 年秋の年会, 2C14)、2)江連秀夫、"⁵⁹Ni の放射能が廃止措置計画に及ぼす影響"、2019年春の年会, 2C14-17, 3)助川武則, 畠山睦夫, 柳原敏, 原子炉の廃止措置における残存放射能評価方法の検討、JAERI-Tech 2001-058, 2001年9月.4)B.

Pritychenko and S. F Mughabghab, "Thermal cross sections, Wescott factors, resonance integrals, Maxwellian averaged cross sections and astrophysical reactions rates calculated

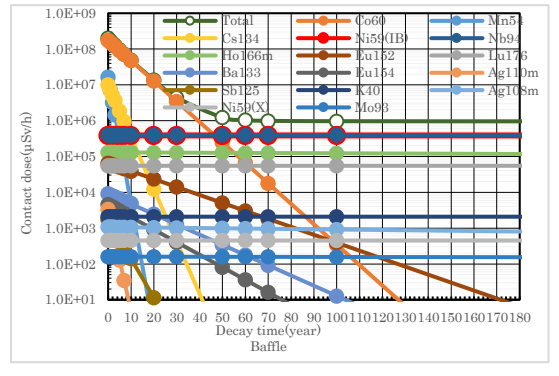


図1PWR Barrel の線量率の時間変化

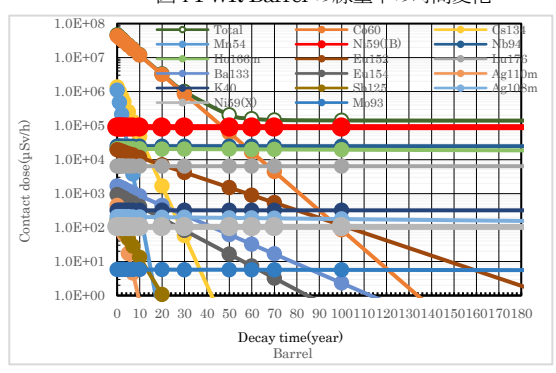


図 2 PWR Baffle の線量率の時間変化

Reaction	Ni58(n. v)Ni59	Nb93(n v)Nb94	Ho165(nγ)Ho166m	Lu175(n v)Lu176
Cross section of mother nuclide(b)				
Mother nuclides	Ni58	Nb93	Ho165	Lu175
Thermal c.s.	4.6240E+00	1.1430E+00	3.4053E+00	6.5341E+00
RI	2.2140E+00	8.9820E+00	3.5879E+01	1.7598E+02
Fast c.s.	8.7000E-03	1.0020E-03	3.9800E-03	3.6209E-02
Equivalent effective cros section of mother nuclide(b)				
Core	3.2500E+00	1.7212E+00	6.1789E+00	2.8900E+01
Shroud	3.0507E+00	9.6701E-01	3.1719E+00	8.6872E+00
Cladding	3.1526E+00	1.3441E+00	4.6746E+00	1.6076E+01
Mother material	4.1122E+00	4.9171E+00	1.8891E+01	8.6258E+01
Crosss section of daughter nuclide(b)				
Daughter nuclide	Ni59	Nb94	Ho166m	Lu176
Thermal c.s.	7.5650E+01	1.5760E+01	3.6090E+03	2.0970E+03
RI	1.1980E+02	1.2920E+02	6.7730E+02	9.2090E+02
Fast c.s.	1.0949E-01	3.8892E-02	5.4760E-02	1.2790E-01
Effective cros section of daughter nuclide(b)				
Core	6.2203E+01	2.4343E+01	2.4083E+03	1.4854E+03
Shroud	5.2006E+01	1.3474E+01	2.3516E+03	1.3797E+03
Cladding	5.7128E+01	1.8912E+01	2.3799E+03	1.4183E+03
Mother material	1.0569E+02	7.0554E+01	2.6493E+03	1.7850E+03

表1 (n, y)反応の断面積と構成物の実効断面積

from the ENDF/B-VII.1, JEFF-3.1.2, JENDL-4.0 ROSFONO-210, CENDL-3.1, and EAF-2010 evaluated data libraries", National data center, Oct. 2012, 5) JAEA NDC, JENDL/AD-2017, 2018/05 5) JAEA NDC, Table of thermal cross sections, resonance integrals, etc., 2019/01 7) ICRP 116, 付属書 A, 2010, 8) アイソトープ手帳 11 版, p29, 日本アイソトープ協会, 平成 23 年 3 月、9) www.nist.gov/pml/x-ray-mass-attenuation-coefficients,July 2004 NISTIR 5632, 10) H. Ezure, "Effect of Neutron Spectrum on Effective Cross Section in Evaluation of Residual Radioactive Inventory in Nuclear Reactors", J. Nucl. Sci. Technol. 35, 4, pp255-263.

^{*}Hideo Ezure Nippon Advanced Information Service Company, Inc. (NAIS)